

СВЕРХПРОВОДИМОСТЬ ПОЛУПРОВОДНИКОВЫХ СВЕРХРЕШЕТОК НА ОСНОВЕ ХАЛЬКОГЕНИДОВ СВИНЦА

*О.А.Миронов, Б.А.Савицкий, А.Ю.Сипатов, А.И.Федоренко,
А.Н.Чиркин, С.В.Чистяков, Л.П.Шпаковская*

Впервые обнаружена сверхпроводимость у многослойных периодических структур из халькогенидов свинца с высокой для полупроводников критической температурой $T_c < 4,5$ К. Сверхпроводимость имеет двумерный характер и связана с наличием регулярных сеток дислокаций несоответствия на межфазных границах – дислокационных сверхрешеток.

Халькогениды свинца ($PbTe$, $PbSe$, PbS) – узкозонные полупроводники, у которых при сильном легировании акцепторами наблюдается сверхпроводимость (СП) при $T < 1,0$ К¹. Они имеют простую кубическую решетку типа $NaCl$, а их эпитаксиальные пленки весьма технологичны и могут служить удобными модельными объектами для высокотемпературных сверхпроводников (ВТСП), являясь их близкими структурными аналогами. Слоистый характер структуры ВТСП легко смоделировать с помощью сверхрешеток (СР) из тонких слоев двух халькогенидов свинца. СР изготавливались в безмасляном вакууме 10^{-4} – 10^{-5} Па путем термического испарения халькогенидов свинца и последовательной конденсации их на поверхность (001) KCl и (111) BaF_2 при температурах 550 – 650 К. Были изготовлены СР $PbTe$ – PbS , $PbTe$ – $PbSe$, $PbSe$ – PbS с толщинами слоев от 1 нм до 30 нм и числом периодов от 2 до 20, а также контрольные однослойные пленки с толщинами, равными суммарной толщине соответствующих слоев СР. Электронно-микроскопические исследования показали, что в ориентации (001) халькогениды свинца растут друг на друге послойно (по механизму Франка–ван дер Мерве), и на межфазной поверхности образуется квадратная сетка краевых дислокаций несоответствия с периодами 13 нм ($PbSe$ – PbS), 8,6 нм ($PbTe$ – $PbSe$) и 5,2 нм (PbS – $PbSe$)². В ориентации (111) рост идет по островковому механизму Фольмера – Вебера без образования дислокаций несоответствия на межфазных границах многослойных структур. Периодичность и регулярность СР проверялась по рефлексам-сателлитам на рентгеновских дифрактограммах³, при этом точность определения толщин слоев была не хуже 0,1 нм.

Исследование температурных зависимостей электропроводности σ , коэффициента Холла R_X и анизотропии поперечного магнитосопротивления были выполнены на постоянном токе в диапазоне температур $T = 300$ – 1,5 К и в магнитных полях H до 15 кЭ. Форма образцов была типа двойного холловского креста, а направление тока j было параллельно слоям СР при соблюдении условия $j \perp H$. При изучении зависимостей $\sigma(T)$ у СР в отличие от контрольных однослойных пленок халькогенидов свинца были обнаружены СП переходы при $T < 5$ К (рис. 1). За T_c принималась температура, при которой проводимость СР становилась вдвое больше остаточной $\sigma_{\text{ост}}$ при $T = 6$ – 60 К. Ширина перехода ΔT_c оценивалась как область температур, где проводимость менялась в пределах (1,1 – 10) $\sigma_{\text{ост}}$. С ростом H и тока через образец T_c понижалась, а ΔT_c увеличивалась обычным для СП образом. В пользу СР свидетельствовало также отсутствие холловского напряжения у образцов СР в слабых магнитных полях за счет полного диамагнетизма, наличие "вмороженного" магнитного потока при $H = 0$, а также гистерезисные электродинамические эффекты, наблюдавшиеся при записи магнитосопротивления при смене полярности магнитного поля.

Было выяснено, что наибольшими значениями T_c обладают СР $PbTe$ – $PbS/(001)KCl$ (несоответствие периодов решеток слоев $f = 8,3\%$). Средняя холловская концентрация электронов в таких СР составляла $n_X = (1 - 5) \cdot 10^{19} \text{ см}^{-3}$, а их подвижность $\mu_X = \sigma P_X$ не превышала 300 – 1200 $\text{см}^2/\text{В} \cdot \text{с}$. У СР $PbSe$ – $PbS/(001)KCl$ ($f = 3,1\%$, $n_X = 2 \cdot 10^{18} \text{ см}^{-3}$,

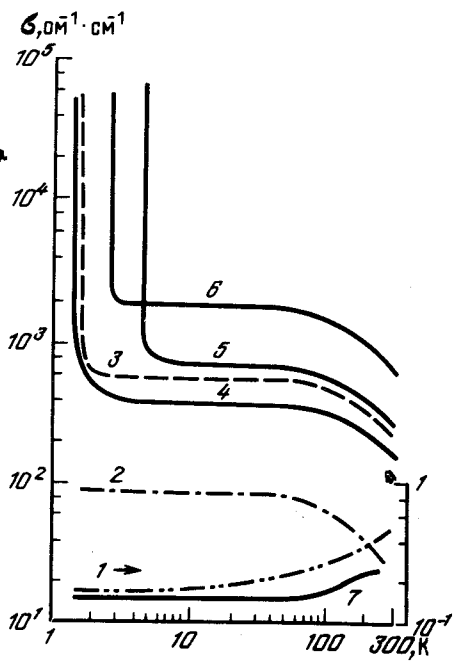


Рис. 1

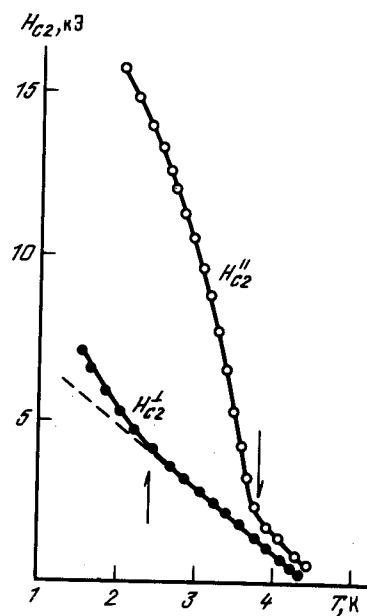


Рис. 2

Рис. 1. Температурные зависимости удельной электропроводности σ образцов: 1 – PbTe/(001)KCl толщиной $d = 140$ нм; 2 – PbS/(001) KCl, $d = 150$ нм; 3 – CP PbTe – PbS/(001)KCl с толщинами слоев 9 нм (PbTe) и 9 нм (PbS) и числом периодов $N = 7$; 4 – CP PbTe – PbS/(001)KCl с толщинами слоев 1,2 нм (квазипсевдоморфный PbTe), 14 нм (PbS) и $N = 40$; 5 – CP PbTe – PbS/(001)KCl с толщинами слоев 15 нм (PbTe), 16 нм (PbS) и $N = 9$; 6 – CP PbTe – PbS/(001)KCl с толщинами слоев 17 нм (PbTe), 18 нм (PbS) и $N = 10$; 7 – CP PbTe – PbS/(111) BaF₂ с толщинами слоев 15 нм (PbTe), 16 нм (PbS) и $N = 16$

Рис. 2. Температурная зависимость второго критического магнитного поля H_{c2} для CP PbTe – PbS/(001)KCl (образец № 5 на рис. 1) для случаев: H_{c2}^{\parallel} – магнитное поле лежит в плоскости слоев CP и H_{c2}^{\perp} – перпендикулярно слоям CP

$\mu_X = 1700 \text{ см}^2/\text{В} \cdot \text{с}$) наблюдался при $1,5 \text{ К} < T < 2,3 \text{ К}$ лишь слабый рост проводимости $\sigma(1,5 \text{ К}) / \sigma_{\text{ост}} = 1,35$. При этом на магнитосопротивлении был виден вклад от рассеяния электронов на СП флюктуациях – вклад в магнитосопротивление от квантовой поправки Маки–Томпсона ⁴. У CP PbTe – PbSe/(001) KCl ($f = 5,2\%$, $n_X = 10^{18} \text{ см}^{-3}$, $\mu_X = 2000 \text{ см}^2 / \text{В} \cdot \text{с}$) при $T < 3,5 \text{ К}$ также наблюдался слабый флюктуационный рост проводимости $\sigma(1,5 \text{ К}) / \sigma_{\text{ост}} = 1,5$ с соответствующим вкладом в магнитосопротивление. У CP PbTe – PbSe/(001) KCl и PbSe – PbS/(001) KCl с тонкими до 2 нм псевдоморфными слоями PbTe и PbSe (сетки ДН полностью отсутствовали) при $T > 1,5 \text{ К}$ не наблюдалось даже слабого роста σ . Рассеяние на СП флюктуациях в магнитосопротивлении не проявлялось. У CP PbTe – PbS/(001) KCl с тонкими (~ 1 нм) "квазипсевдоморфными" слоями PbTe (островки сеток дислокаций несоответствия, отделенные друг от друга псевдоморфными участками см. рис. 3а) наблюдался СП переход с $T_c = 2 \text{ К}$ и $\Delta T_c = 1,5 \text{ К}$, что характерно для нульмерных флюктуаций в гранулированных СП пленках ⁵. Таким образом, появление СП у CP халькогенидов свинца при $T > 1,5 \text{ К}$ согласуется с наличием регулярных сеток дислокаций несоответствия на межфазных границах (рис. 3б). Это подтверждается также отсутствием СП для всех трех систем СП, выращенных на (111) BaF₂ по механизму Фольмера – Вебера без образования дислокаций несоответствия на границах раздела (кривая 7 на рис. 1). На рис. 2 приведены температурные зависимости второго критического поля H_{c2}

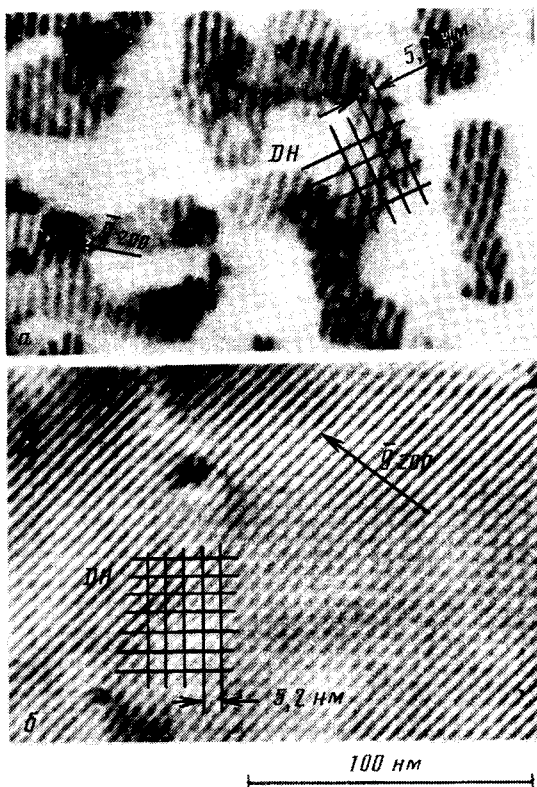


Рис. 3. Электронно-микроскопические изображения двухслойных пленок PbTe – PbS/(001)KCl с толщинами слоев PbTe 1,2 нм (а) и 15 нм (б). Голашина PbS – 16 нм. DH – дислокации несоответствия. g_{200} – отражающий вектор

(измерялось на половинном уровне от остаточного сопротивления) для случаев, когда H лежало параллельно H_{c2}^{\parallel} и перпендикулярно H_{c2}^{\perp} плоскостям слоев СР. Большая анизотропия H_{c2} и линейный характер $H_{c2}^{\parallel}(T) \sim (T_c - T)^{1/2}$ при $T < 3,8$ К свидетельствуют о двумерном характере СР. На кривой $H_{c2}^{\parallel}(T)$ при $T = 3,8$ К отчетливо виден кроссовер к трехмерной ситуации, когда при $3,8 \text{ K} < T < 4,5$ К длина когерентности ξ становится больше размера одного периода СР, но меньше толщины всей СР⁶. Наличие нелинейной зависимости $H_{c2}^{\perp}(T)$ при $T < 2,5$ К, по-видимому, можно связать с влиянием на эту величину периодического потенциала дислокаций несоответствия. Основные параметры, характерные для СР PbTe – PbS / (001) KCl с наибольшим значением $T_c = 4,5$ К (кривая 5 на рис. 1) следующие: $n_X = 1,2 \cdot 10^{19} \text{ см}^{-3}$; $\mu_X = 370 \text{ см}^2/\text{В} \cdot \text{с}$; длина свободного пробега электронов $l = 18$ нм; $\partial H_{c2}^{\perp} / \partial T = 2 \text{ кЭ/К}$; $\partial H_{c2}^{\parallel} / \partial T = 14 \text{ кЭ/К}$; $H_{c2}^{\perp}(0) = 14 \text{ кЭ}$; $H_{c2}^{\parallel}(0) = 25 \text{ кЭ}$; $\xi^{\parallel}(0) = (\Phi_0 / 2\pi H_{c2}^{\perp}(0))^{1/2} = 19 \text{ нм}$; $\xi^{\perp}(0) = \Phi_0 / 2\pi \xi^{\parallel}(0) H_{c2}^{\parallel}(0) = 6 \text{ нм}$. Таким образом, впервые обнаружена сверхпроводимость по дислокационным сверхрешеткам.

Литература

1. Кайдалов В.И., Равич Ю.И. УФН, 1985, 145, 51.
2. Михалов И.Ф. и др. Кристаллография, 1981, 26, 792.
3. Борисова С.С. и др. Кристаллография, 1986, 31, 651.
4. Ларкин А.И. Письма в ЖЭТФ, 1980, 31, 239.
5. Комник Ю.Ф. Физика металлических пленок. Размерные и структурные эффекты. М.: Атомиздат, 1979.
6. Глазман Л.И. и др. ЖЭТФ, 1987, 92, 1461.

Институт радиофизики и электроники

Академии наук Украинской ССР

Харьковский политехнический институт
им. В.И.Ленина

Поступила в редакцию
8 июня 1988 г.